

名古屋大学

正員

菊池洋一

名古屋大学

正員

鈴木悦男

名古屋大学大学院 学生員

○井川孝

<はじめに>

最近のプレートガーダーは折高の高い薄肉断面と高張力鋼を使用して経済設計を行う傾向にあるが、これらの構造は疲労強度に関する検討の余地があるよう思われる。疲労に対する設計示方書には薄肉鋼鉄道橋設計示方書がある。これは軟鋼より50kgf/㎟付するものであり、高張力鋼に対するものとの示方書を拡張することが妥当であることを検討するための資料として、80+鋼材 ($\sigma_y = 78.5$, $\sigma_b = 95.0$ kgf/㎟) による実験を行った。縦ビード溶接疲労試験片(半溶接、溶接仕上げ、自動溶接をそれぞれA, B, C系列)を各1本、ステイナーア取付部疲労試験片(前面すみ内溶接、同溶接仕上げ、全面すみ内溶接仕上げをD, E, F系列)を各5本製作し実験を行った。その寸法は図-1, 2, 3を示す。またこれらの引張疲労試験片と実際の構造物の疲労強度との関連を知るために、プレートガーダー(図-6)を2種製作し、静的および疲労実験を行った。

<引張疲労実験>

実験は完全片振引張 ($\lambda = 0$) で行い、そのS-N曲線を図-4, 5に示す。示方書の許容応力値はA, B, C系列では14.8 kgf/㎟、D, E, F系列では10.0 kgf/㎟、E, F系列では12.5 kgf/㎟である。疲労限応力と比較すると、その安全率はA系列が約1.6、D系列が約1.3、F系列が約1.6である。少し高めの安全率を有している。これらの破断状況はD系列では端からビード部沿って、F系列ではビード内部から、またE系列では母材のアーフストラック部から亜裂が発生した。

<プレートガーダーの疲労実験>

図-6に示すプレートガーダーに対する、縦ビードおよび垂直ステイナーア取付溶接止端部の応力度が許容応力の1割増程度となるよう荷重を定めて疲労実験を行った。この結果 $P/P_y = 0.068 \sim 0.231$ ($\lambda = 0.3$) の場合には151万回まで、また $P/P_y = 0.077 \sim 0.256$ ($\lambda = 0.3$) では123万回の時、折中止のウェブにおける水平ステイナーア取付溶接止端部に亜裂が発生した。この亜裂発生箇所での荷重は3成応力度が圧縮であり、その値はそれぞれ8~2.4, 9~2.7 kgf/㎟程度であった。一般に疲労破壊は引張応力の存在により起るが、この種の破壊は種々拘束条件が溶接の影響によると考えられる。この要因として次のようなることが考えられる。

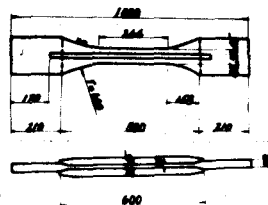


図-1 A, B, C系列

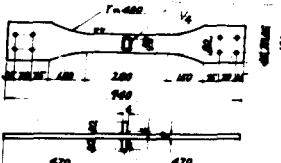


図-2 D, E系列

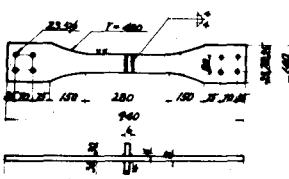


図-3 F系列

- 溶接線が複雑な点で、かなり高い残留引張応力が存在する点と想われる。
- 水平、垂直スティフナーの取付部などで応力集中が著しいと思われる。
- 水平スティフナーの溶接止端部は技術的に困難な溶接なので、アーチストライクおよびブローホールなど溶接欠陥が存在し易い箇所である。
- 熱処理鋼板などの溶接熱の影響を受けやすく、局部的材料質が変化する点が想われる。
- 水平スティフナーの止端部の形状問題があるのではないか。

〈考察〉

以上の実験は未だ中途であり、不完全なものであるが、高張力鋼の疲労強度および桁高が高く薄肉プレートガーダーの疲労性状に対する考察として、まだこの種の研究を進めるため今後留意すべき点と次のようなことを言えると思う。

- 種々の点に対する統計的疲労実験を行わなければ確かることは解らぬが、この実験($\sigma = 0$)による結果では示す許容応力は 80 kg/㎟に対するもの、少し安全側ではあるが、ほゞ妥当な値を示すものと思われる。
- 実際の構造物の疲労強度は溶接熱による残留応力の影響が非常に大きく、疲労強度を予測するには困難である。この値が著しく大きいときは今回の実験のように圧縮側においても疲労破壊する可能性がある。この値は母材の板厚、溶接線の配置、脚長、その他の溶接条件により異なることが確かだが、種々のデータよりこの値は 0.5 ~ 0.9 kg/㎟を達するものと思われる。今後はこの応力を多く測定し、統計的に処理する必要がある。
- 設計に対する大きな値が小さい場合には高張力鋼の特性が得られないのに、短径間の橋梁には適当でない。またウェブ厚は静的座屈強度に対するみではなく、ビードの脚長やスティフナーの剛性との関連とも考えるべきであると思う。
- 以上は応力の点からも疲労強度の点からも高張力鋼より軟鋼の方が適当ではないかと思われる。

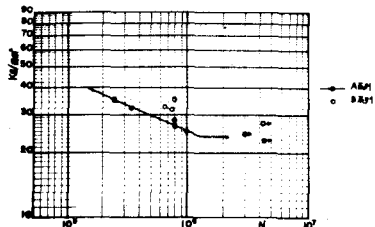


図-4 S-N曲線

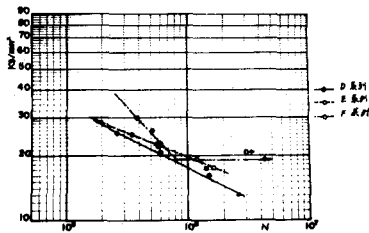


図-5 S-N曲線

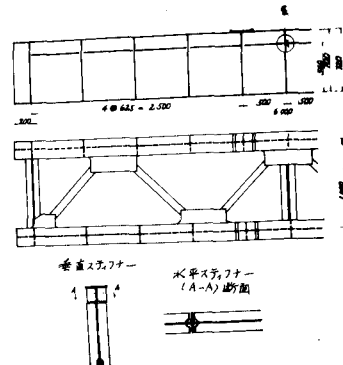


図-6 プレートガーダー